#### ФИЗИКА ЗЕМЛИ, АТМОСФЕРЫ И ГИДРОСФЕРЫ

# Модификация математической модели неизотермического фильтрационного течения в нефтекерогеносодержащем пласте с учетом термодеструкции керогена

А.В. Каюкова,  $^{1, a}$  А.В. Исаева $^{2, 6}$ 

<sup>1</sup> Московский государственный университет имени М.В. Ломоносова, физический факультет, кафедра математического моделирования и информатики, <sup>2</sup> кафедра физики Земли. Россия, 119991, Москва, Ленинские горы, д. 1, стр. 2.

Статья поступила 24.10.2017, принята к публикации 19.12.2017.

Статья посвящена созданию модификации математической модели многокомпонентной неизотермической фильтрации нефти и газа с учетом процессов термодеструкции керогена, протекающих при нагреве нефтекерогеносодержащих пластов. На основе данных об апробации термогазового метода на месторождении баженовской свиты, а также при использовании данных лабораторных пиролитических исследований сформулирована система дифференциальных уравнений, описывающих термодеструкцию. Полученная одномерная начально-краевая задача решена с применением численных методов. Реализован программный комплекс, позволяющий проводить численные эксперименты при различных значениях параметров. Численные эксперименты выполнены для двух моделей: для классической модели фильтрации и для модели, дополненной уравнениями, описывающими термодеструкцию. Проведено сравнение результатов экспериментов, полученных на основе двух различных моделей, показаны преимущества предложенной в настоящей статье модели.

*Ключевые слова*: термодеструкция, кероген, баженовская свита, многокомпонентная неизотермическая фильтрация.

УДК: 532.5. PACS: 02.70.Bf.

#### **ВВЕДЕНИЕ**

Легкоизвлекаемые запасы углеводородов истощаются, поэтому необходимо создавать новые способы разработки нетрадиционных запасов углеводородов. Одним из перспективных источников нефти является кероген — твердое высокомолекулярное органическое вещество, нерастворимое в органических растворителях, способное при нагревании генерировать жидкие и газообразные углеводороды (процесс термодеструкции керогена). Именно с керогеном связан основной ресурсный потенциал баженовской свиты, оценки которого варьируют от 35 до 405 млрд т [1, 2]. Такой разброс в оценках связан с недостаточной изученностью баженовской свиты, а также с отсутствием эффективной технологии разработки. Перспективной идеей разработки пластов, насыщенных керогеном, является проведение процессов термодеструкции в пласте (in situ) с целью вовлечения в добычу углеводородов, сгенерированных керогеном [1].

В настоящее время активно прорабатывается целый комплекс задач [3–12], связанных с вопросом повышения эффективности извлечения углеводородов из нефтекерогеносодержащих пород. Как известно, нефтекерогеносодержащие породы характеризуются сложным строением, неоднородностью фильтрационноемкостных свойств, демонстрируют низкие значения проницаемости. В этой связи ряд исследователей сосредоточен на изучении свойств керогеносодержащих пород в масштабе пор [3–6], а также на решении вопроса о связи параметров на микро- и макромасштабе [7]. Важным вопросом является оценка «недарсианского» вклада в фильтрационное течение для таких пород [8, 9]. Накопленный опыт разработки нефте-

керогеносодержащих пород позволяет применить современные подходы для работы с большими объемами данных с целью повышения точности априорных прогнозов добычи [10]. Рассматриваются и вопросы, связанные с математическим моделированием распространения тепловых фронтов в неоднородных пористых средах [11]. В то же время для планирования новых промысловых экспериментов, в рамках которых предполагается тестировать технологии, повышающие нефтеотдачу нефтекерогеносодержащих пород, необходимо развивать существующие сегодня математические модели физических процессов на масштабе пласта (макромасштабе). В этом случае результаты исследований [3–9, 11, 12] будут носить уточняющий характер с их помощью удастся повысить обоснованность выбора значений параметров модели на макромасштабе.

В настоящей работе математически моделируется фильтрационное течение флюидов совместно с термодеструкцией керогена в нефтекерогеносодержащем пласте (макромасштаб). Предполагается, что нагрев пласта происходит с помощью забойного нагревателя. Особенностью разработанного программного комплекса является то, что изучать детали процесса можно посредством сравнения двух моделей: учитывающей термодеструкцию и классической модели неизотермической многокомпонентной фильтрации. Численные эксперименты проводились при характерных для баженовской свиты значениях параметров пласта.

# 1. НАЧАЛЬНО-КРАЕВАЯ ЗАДАЧА МНОГОКОМПОНЕНТНОЙ НЕИЗОТЕРМИЧЕСКОЙ ФИЛЬТРАПИИ

Математическая модель фильтрационного течения представляет собой систему дифференциальных уравнений в частных производных с соответствующими

<sup>&</sup>lt;sup>a</sup> E-mail: akayukova16@gmail.com

<sup>&</sup>lt;sup>б</sup> E-mail: avisaeva@gmail.com

Обозначения	Физический смысл			
Индексы $o, g, w$	Нефтяная, газовая и водная фазы соответственно			
Индексы $k, r$	Кероген, минеральная матрица соответственно			
$\varphi,  \varphi^*$	Коэффициент пористости и доля объема пористой среды, занимаемая керогеном			
k	Коэффициент проницаемости пористой среды			
$\rho^r$ , $\rho^k$	Плотности породы и керогена соответственно			
$c^{\alpha},  \alpha = o, g, w$	Теплоемкости фаз			
$\rho^{\alpha}, \alpha = o, g, w$	Плотности фаз			
$\kappa^r,  \kappa^k$	Коэффициенты теплопроводности породы и керогена соответственно			
$\kappa^{\alpha},  \alpha = o, g, w$	Коэффициенты теплопроводности фаз			
$s^{\alpha},  \alpha = o, g, w$	Насыщенности пустотного пространства фазами			
$u^{\alpha},  \alpha = o, g, w$	Скорости фильтрации фаз			
$q_i$	Объемная плотность источников $i$ -й компоненты			
$f^{\alpha},  \alpha = o, g, w$	Фазовые проницаемости			
$x_i^{\alpha}$	Доля $i$ -й компоненты в фазе $\alpha$			

Табл. 1. Принятые обозначения

начальными и граничными условиями. В систему, описывающую течение в пористой среде, входят такие фундаментальные физические законы, как закон сохранения массы движущихся фаз, энергии, а также закон Дарси (в настоящей работе мы пренебрегаем недарсианскими поправками при описании фильтрационного течения в породе) [13–15]. Математическая постановка одномерной задачи многокомпонентной неизотермической фильтрации представлена в системе (1). Принятые в задаче обозначения расшифрованы в табл. 1. Фазы в рассматриваемой задаче делятся на компоненты, нумеруемые индексом *i*.

$$\begin{cases} \partial_{t}x_{i}^{\alpha}\rho^{\alpha}s^{\alpha}\varphi = -\partial_{x}x_{i}^{\alpha}\rho^{\alpha} \ u^{\alpha} + q_{i}; \\ \partial_{t}\left(c_{r}\rho_{r}(1-\varphi-\varphi^{*}) + c_{k}\rho_{k}\varphi^{*} + \right. \\ \left. + \sum_{\alpha=o,w,g} c^{\alpha}\rho^{\alpha}s^{\alpha}\varphi\right)\theta = \\ = -\sum_{\alpha=o,w,g} \partial_{x}\left(c^{\alpha}\rho^{\alpha} \ u^{\alpha}\theta\right) + \\ \left. + \partial_{x}\left(\kappa_{r}(1-\varphi)\partial_{x}\theta\right) + \\ \left. + \partial_{x}\left(\kappa_{k}(1-\varphi-\varphi^{*})\partial_{x}\theta\right) + Q; \right. \\ u^{\alpha} = -\left(f^{\alpha} \ k/\mu^{\alpha}\right)\partial_{x}p; \\ \rho_{o} = 1/\sum_{i\in o} x_{i}^{o}\frac{1}{\rho_{i}}, \\ \rho_{i} = \rho_{i}^{\text{ref}} \exp(c_{i1}(p-p^{\text{ref}}) + c_{i2}(\theta-\theta^{\text{ref}})), \\ \rho^{w} = \rho_{w}^{\text{ref}} \exp(c_{w1}(p-p^{\text{ref}}) + c_{w2}(\theta-\theta^{\text{ref}})), \\ \rho^{g} = \frac{p}{R\theta}; \\ \mu^{o} = \mu^{\text{ref}} \exp(\delta(\theta-\theta^{\text{ref}})), \\ \mu^{w} = \text{const}, \quad \mu^{g} = \text{const}; \\ \kappa^{\alpha} = 0, \quad \kappa^{k} = \text{const}, \quad \kappa^{r} = \text{const}; \\ f^{\alpha} = f_{\text{max}}^{\alpha}\left(\frac{s^{\alpha} - s_{*}^{\alpha}}{1 - s_{*}^{o} - s_{*}^{g} - s_{*}^{w}}\right)^{n^{\alpha}}; \\ q_{i} = q_{i}(p,\theta); \\ \varphi = \varphi(p,\theta), \quad \varphi^{*} = \varphi^{*}(p,\theta). \end{cases}$$

Первая строка в системе выражает уравнение неразрывности i-й компоненты. Второе уравнение — уравнение неразрывности плотности энергии пласта. Третье уравнение является обобщенным законом Дарси. Далее следуют используемые в задаче материальные уравнения, описывающие зависимости теплофизических параметров компонент и фаз от температуры и давления. Значения параметров  $c_{i,j},\ c_{wj}$  были выбраны таким образом, чтобы наиболее точно описывать данные об изменении молярной плотности веществ в зависимости от термодинамических переменных, представленные на сайте Национального института стандартов и технологий США [16]. В настоящей работе для описания фазовых проницаемостей использована модель Кори [17].

Чтобы включить в задачу процесс термодеструкции керогена, необходимо уточнить вид последних двух зависимостей в системе:  $q_i = q_i(\theta,p), \ \varphi = \varphi(\theta,p)$  и  $\varphi^* = \varphi^*(\theta,p),$  что будет проделано в следующем разделе.

Систему (1) необходимо дополнить начальными и граничными условиями, которые задаются для температуры, давления, а также  $x_i^{\alpha}$  — долей компонент в фазах. В настоящей работе мы используем следующие допущения.

- 1. Рассматривается квазиодномерный пласт длины 500 м и площадью сечения 1 м<sup>2</sup>. Слева нагнетательная, справа добывающая галереи.
- 2. Следующие параметры, характеризующие породу и кероген, являются неизменными:  $k=\mathrm{const},$   $\rho^r=\mathrm{const},$   $\rho^k=\mathrm{const},$   $c^r=\mathrm{const},$   $c^k=\mathrm{const},$   $\kappa^r=\mathrm{const},$   $\kappa^k=\mathrm{const},$   $\varphi+\varphi*=\mathrm{const}.$
- 3. Следующие параметры, описывающие фазы, считаются неизменными:  $\mu^w = \text{const}, \ \mu^g = \text{const}, \ c^w = \text{const}, \ c^g = \text{const}, \ c^o = \text{const}.$
- 4. Кровля и подошва пласта не рассеивают тепло, непроницаемы для флюидов.
- 5. Источник тепла забойный нагреватель, действие которого распространяется лишь на первую ячейку при численном расчете, и в дальнейших выражениях он не упоминается с целью упрощения записей.

# 2. МАТЕМАТИЧЕСКОЕ ОПИСАНИЕ ТЕРМОДЕСТРУКЦИИ

Как известно, нагрев керогена приводит к его термодеструкции - разложению керогена на жидкие и газообразные углеводороды [18]. Этот факт позволяет предположить, что тепловое воздействие должно быть элементом эффективной технологии извлечения углеводородного сырья из нефтекерогеносодержащих пород, т. к. в этом случае в разработку будет вовлечена не только уже содержащаяся в пласте нефть, но и выделившиеся в результате термодеструкции керогена жидкие и газообразные углеводороды. Протекание термодеструкции сопровождается изменением объема, занимаемого керогеном, заполнением освободившегося пространства продуктами разложения. В случае если пустотное пространство породы, доступное для свободной фильтрации флюидов, сообщается с порами, заполненными керогеном, также будет происходить изменение свободной пористости и состава нефти. Процесс термодеструкции прекращается, когда кероген полностью исчерпывает свой генерационный потенциал. Таким образом, для описания термодеструкции необходимо знать: состав генерируемой при разложении керогена нефти (или газа), скорость генерации, условия ее завершения и каким образом меняется пористость.

Исходя из типичных данных, получаемых при термодеструкции, скорость генерации растет с увеличением температуры. Спад кривой вызван ограниченностью генерационного потенциала [18]. На основе анализа экспериментальных данных о термодеструкции керогена баженовской свиты [19] в настоящей работе была использована квадратичная зависимость скорости генерации от температуры:  $\omega(\theta) = 5 \cdot 10^{-9} (\theta - 570)^2$ , где  $\theta$  выражается в градусах Кельвина, а результирующая величина  $\omega(\theta)$  имеет размерность килограмм углеводородов на килограмм породы в секунду.

По результатам апробации элементов термогазовой технологии на Средне-Назымском месторождении можно предложить количественную модель выделения легких и средних фракций нефти при термодеструкции керогена. Данные показали, что генерируются углеводороды  $C_1$ – $C_8$ , причем  $C_1$ – $C_4$  в два раза больше, чем  $C_5$ – $C_8$  [20]. Также о керогене баженовской свиты известно, что он выделяет углеводороды легких фракций, поэтому в модели считается, что фракции  $C_{8+}$  не генерируются. Нефть в рассматриваемой модели делится на три описанные выше компоненты:  $C_1$ – $C_4$ ,  $C_5$ – $C_8$ ,  $C_{8+}$ . Уравнения источников компонент выглядят следующим образом:

$$q_i = d_i \omega(\theta) \rho_r (1 - \varphi - \varphi^*),$$
  
 $i = \{C_1 - C_4, C_5 - C_8\},$ 

где  $\rho_r$  — плотность породы,  $\varphi$  — пористость,  $\varphi^*$  — часть объема, занимаемая керогеном,  $d_i$  — доля компонента i в генерации.

При описании эволюции пористости важно знать, какая часть пор, занимаемая керогеном, является изолированной и не будет участвовать в фильтрации после разложения керогена. Опираясь на результаты исследования [21] пустотного пространства, сформированного в результате преобразования керогена в образце керна

баженовской свиты, можно утверждать, что весь освобожденный объем связан со свободной пористостью и доступен для фильтрации флюидов:

$$\partial_t \varphi = \frac{\sum_i q_i}{\varrho_k}, \quad \partial_t \varphi^* = -\partial_t \varphi, \quad \varphi^* \geqslant \varphi_0 (1 - C).$$

Последнее уравнение является условием завершения генерации, константа  $\,C\,$  выражает генерационный потенциал.

#### 3. ВЫЧИСЛИТЕЛЬНЫЙ ЭКСПЕРИМЕНТ

Система дифференциальных уравнений (1) решалась численно с применением явной разностной схемы. Для выполнения расчетов был создан программный комплекс, позволяющий проводить вычислительные эксперименты как с классической моделью, так и с моделью неизотермического фильтрационного течения, описывающей термодеструкцию. Устойчивость решения обеспечивалась соблюдением условия Куранта—Фридрихса—Леви, соответствующие шаги по координате и времени составили 10 м и 5 с. Значения параметров, используемых в материальных уравнениях, приведены в табл. 2.

С помощью созданного программного комплекса были выполнены вычислительные эксперименты с двумя моделями. Начальные и граничные условия в обеих моделях были одинаковыми: в начальный момент времени температура пласта равнялась 350 К, давление — 18.5 МПа. Со стороны нагнетательной галереи осуществлялась закачка воздуха и действовал нагреватель, со стороны добывающей скважины производился отбор флюидов (нефти, газа, воды) (рис. 1).



Рис. 1. Схема эксперимента

В ходе эксперимента изучались основные параметры процесса: распределение вдоль пласта давления, температуры, насыщенности фазами (нефтью, пластовой водой, газом), пористости и состава нефти. Графики эволюции профилей этих параметров приведены на рис. 2–6. Моделировался процесс, длительность которого составила более 11 мес. Первые 3 мес пласт прогревался до критической температуры, при которой начинается термодеструкция керогена — 570 К. Далее время отсчитывалось от этого момента — именно оно указано в подписях к графикам.

Оговоримся, что рассмотренные в квазиодномерных моделях процессы протекают в несколько раз быстрее, чем это происходит на промысле. Понятно, что для корректного учета условий реального пласта модель должна быть трехмерной (соответственно влияние

Параметр, размерность	Значение	Параметр, размерность	Значение
$c_{11}$ , 1/Па	$10^{-9}$	$p^{\mathrm{ref}}$ , Па	$2.5 \cdot 10^7$
$c_{21},1/\Pi$ а	$1.7 \cdot 10^{-9}$	$\theta^{\mathrm{ref}}$ , K	350
$c_{31},1/\Pi$ а	$2.4 \cdot 10^{-9}$	$M_1$ , г/моль	48
$c_{12},1/{ m K}$	$2 \cdot 10^{-3}$	$M_2$ , г/моль	105
$c_{22},1/{ m K}$	$1.3 \cdot 10^{-9}$	$M_3$ , г/моль	205
c <sub>32</sub> , 1/K	$7 \cdot 10^{-4}$	$\mu^w$ , Па $\cdot$ с	$10^{-3}$
$c_{w1}, 1/\Pi a$	$5.7 \cdot 10^{-10}$	$\mu^g$ , Па $\cdot$ с	$10^{-5}$
$c_{w2}$ , 1/K	$1.1\cdot 10^{-3}$	$\mu^{\mathrm{ref}}$ , Па∙ с	$7 \cdot 10^{-3}$
$c^g$ , Дж/(моль·К)	70	δ, 1/K	$5 \cdot 10^{-3}$
$c^o$ , Дж/(моль·К)	275	$f_{ m max}^g,$ ед.	1
$c^w$ , Дж/(моль·К)	75	$f_{ m max}^w$ , ед.	1
$c^r$ , Дж/(кг $\cdot$ К)	800	$f_{ m max}^o,$ ед.	1
$c^k$ , Дж/(моль·К)	400	$n^o$ , ед.	2
k	$10^{-15}$	$n^w$ , ед.	2
$p_w^{ m ref}$ , Па	$4 \cdot 10^7$	$n^g$ , ед.	1.5
$\theta_w^{\mathrm{ref}},\mathrm{K}$	440	$C_0$ , ед.	0.1
$ ho_k$ , кг/м $^3$	$1.3 \cdot 10^3$	$arphi_0$ , ед.	0.15
$ ho_r$ , кг/м $^3$	$2.5 \cdot 10^3$	$\kappa_r$ , Bt/(M·K)	2
$ ho_1^{ m ref}$ , моль/м $^3$	$1.2 \cdot 10^4$	$\kappa_k$ , Bt/(M·K)	2
$ ho_2^{ m ref}$ , моль/м $^3$	$6.5 \cdot 10^3$	$s_*^o$ , ед.	0.2
$ ho_3^{ m ref}$ , моль/м $^3$	$3.9 \cdot 10^3$	$s_*^w$ , ед.	$10^{-2}$
$ ho_w^{ m ref},$ моль/м $^3$	$5.1 \cdot 10^4$	$s_*^g$ , ед.	$10^{-4}$

Табл. 2. Значения параметров, используемых в эксперименте

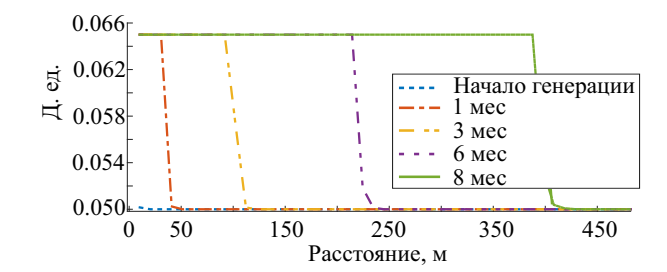
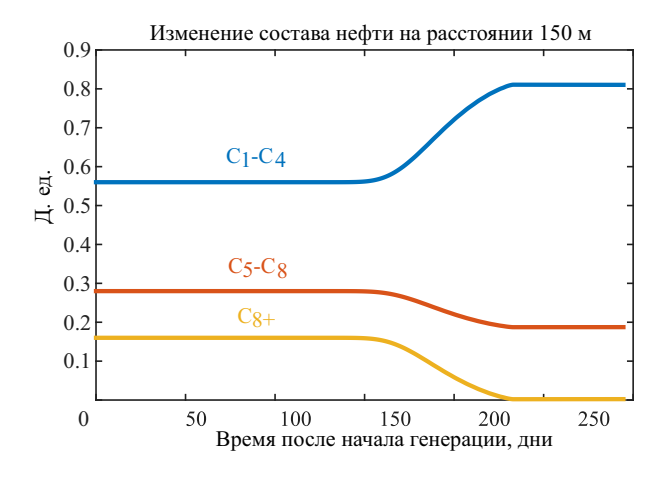


Рис. 2. Идентификатор протекания процесса термодеструкции — изменение пористости



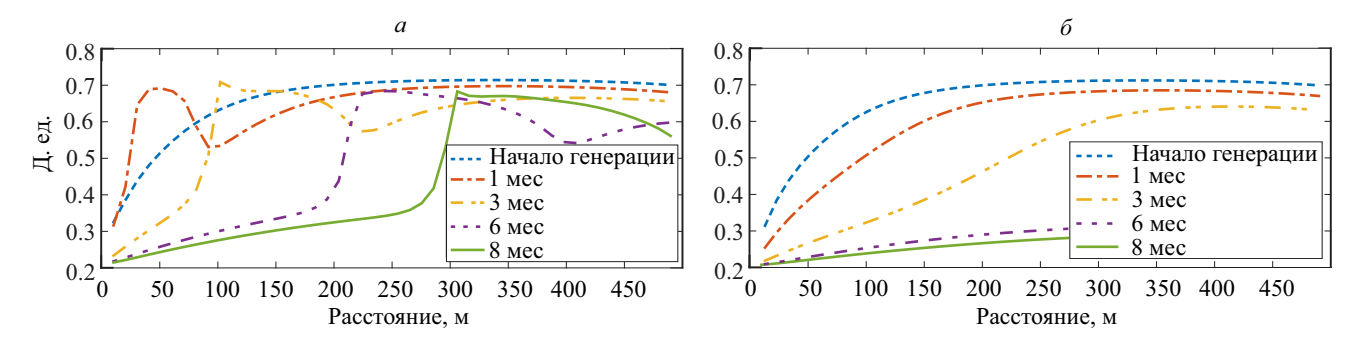
*Рис.* 3. Идентификатор протекания процесса термодеструкции — изменение состава нефти

закачки и прогрева от скважины будет медленнее распространяться по пласту). Однако в настоящей работе целью исследований было изучение предложенной в статье математической модели, учитывающей термодеструкцию керогена, что существенно удобнее делать в квазиодномерном случае.

Идентификатором протекания процесса термодеструкции является пористость: как только кероген начинает преобразовываться в подвижные углеводороды, часть объема, исходно занимаемая керогеном, становится доступной для фильтрации флюидов. Этот процесс иллюстрирует рис. 2, на котором показана зависимость пористости вдоль пласта в различные моменты времени. Также можно отследить изменение состава добываемой нефти (рис. 3).

На графике нефтенасыщенности в начале процесса появляется «бугор» («вал нефти»), что свидетельствует о наличии дополнительного притока углеводородов: в этой части пласта температура достигла порога генерации (рис. 4, a). На рисунке также видно, как процесс распространяется вдоль пласта. В эксперименте, не учитывающем термодеструкцию, нефтенасыщенность за 8 мес падает практически до минимального значения в 0.2, определяемого выбранной моделью фазовых проницаемостей (рис.  $4, \delta$ ). Вся подвижная нефть к этому моменту вытесняется из пласта.

Интересно также наблюдать эволюцию профиля температуры (рис. 5). В эксперименте с учетом термодеструкции рост температуры при достижении порога генерации замедляется, так как реакции термодеструкции являются эндотермическими. В эксперименте без



Puc. 4. Эволюция профиля нефтенасыщенности в процессе: a-с учетом термодеструкции, b- без термодеструкции

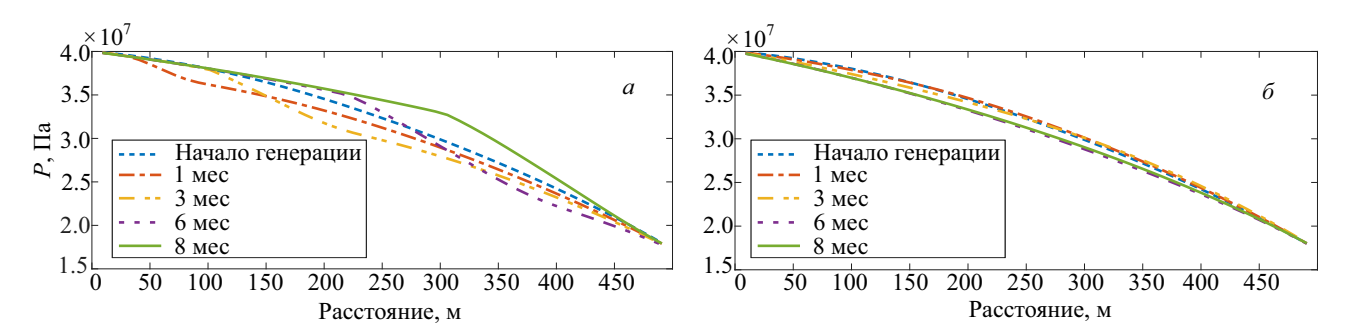
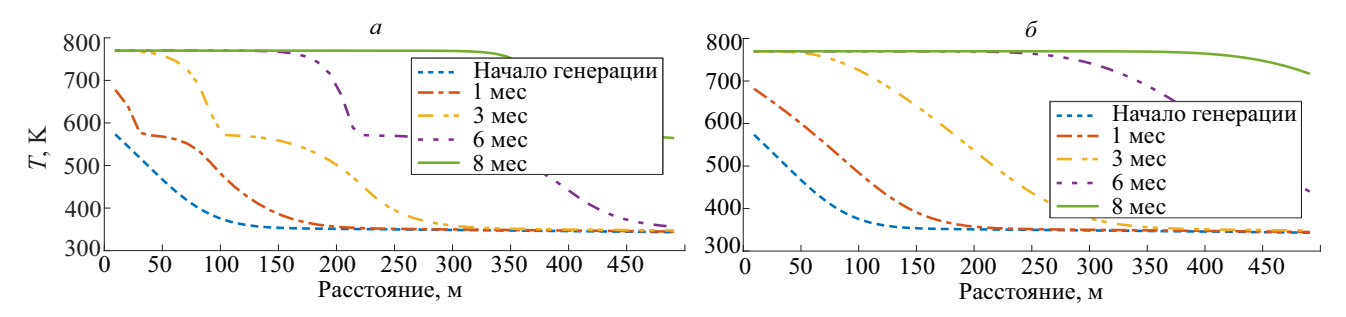


Рис. 5. Эволюция профиля давления в процессе: a-c учетом термодеструкции,  $\delta-$  без термодеструкции



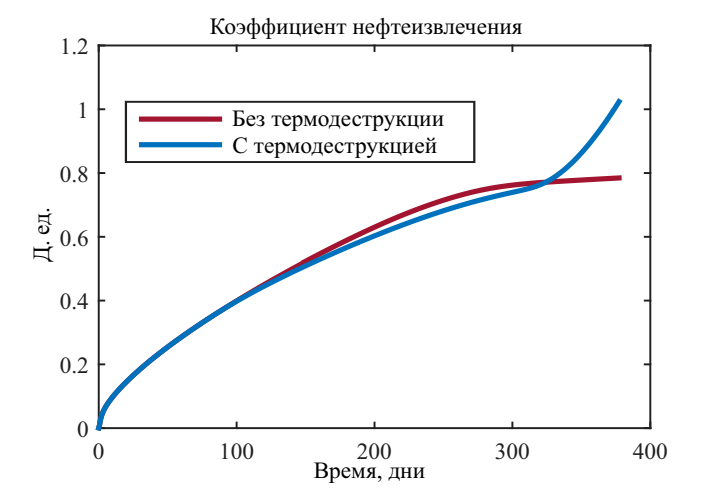
*Рис. 6.* Эволюция профиля температуры в процессе: a-c учетом термодеструкции,  $\delta-$  без термодеструкции

термодеструкции этого не происходит: температура плавно спадает от нагнетательной скважины к добывающей.

На профилях давлений в случае с процессом, учитывающем термодеструкцию, наблюдается перегиб именно в той части пласта, где находится максимум нефтенасыщенности, т. е. в той области, где происходит приток углеводородов за счет термодеструкции керогена (рис. 6, a). В случае когда процесс термодеструкции не учитывается, профиль давления практически не меняется с течением времени (рис.  $6, \delta$ ).

Наиболее интересной с практической точки зрения характеристикой процесса является накопленная добыча. На рис. 7 приведен график зависимости коэффициента нефтеизвлечения (отношение накопленной добычи нефти к начальным запасам нефти в пласте) от времени для двух рассматриваемых процессов. На графике видно, что разница между кривыми появляется в момент начала генерации (около 90 дней от начала эксперимента).

Сначала кривая процесса с термодеструкцией проходит чуть ниже, что обусловлено более интенсивной фильтрацией газовой фазы (за счет термодеструкции генерируются дополнительные углеводороды в газовой фазе), так как она в несколько раз подвижнее, чем



*Рис.* 7. Сравнение коэффициента нефтеизвлечения в двух моделях

нефть и вода. Затем, когда «вал нефти» доходит до добывающей скважины, количество добываемой нефти в единицу времени возрастает более чем в два раза. В процессе с учетом термодеструкции коэффициент нефтеизвлечения может превышать единицу, так как в пласте появляются источники углеводородов — при

этом расчет коэффициента извлечения, как это принято, ведется по отношению к начальным запасам нефти в пласте (жидких углеводородов). Таким образом, выделяющиеся в результате термодеструкции керогена углеводороды оказываются доступны для добычи.

#### ЗАКЛЮЧЕНИЕ

В статье предложена новая модификация математической модели многокомпонентной неизотермической фильтрации для случая нефтекерогеносодержащего пласта, в котором вследствие нагрева происходит процесс термодеструкции керогена — из керогена выделяются и фильтруются по пласту жидкие и газообразные углеводороды. Ввиду сложности рассматриваемых математических моделей для получения решений соответствующих начально-краевых задач в работе использовались численные методы. Выполненные вычислительные эксперименты позволили показать, что предложенная в настоящей статье модель, дополненная уравнениями, описывающими термодеструкцию, более детально воспроизводит физические процессы в нефтекерогеносодержащем пласте, чем классическая модель многокомпонентной неизотермической фильтрации. Так, для случая предложенной в настоящей работе модели наблюдается увеличение со временем пористости пласта вследствие термодеструкции керогена, происходит изменение компонентного состава нефти (увеличение доли легких и средних фракций). Учет термодеструкции сказывается и на эволюции во времени таких физических характеристик, как распределение вдоль пласта давления, температуры, насыщенностей фазами (нефтью, газом и водой). В частности, распределение вдоль пласта давления и насыщенности нефтью демонстрируют локальное увеличение в зоне генерации жидких и газообразных углеводородов при термодеструкции керогена. Таким образом, полученные результаты свидетельствуют, что использование предложенной в настоящей работе модификации математической модели многокомпонентной неизотермической фильтрации представляется перспективным для дальнейших исследований внутрипластовых процессов в нефтекерогеносодержащих пластах при тепловом воздействии.

Работа выполнена при финансовой поддержке РФФИ (грант № 15-07-99584).

#### СПИСОК ЛИТЕРАТУРЫ

- 1. Выгон Г., Рубцов А., Клубков С. и др. Нетрадиционная нефть: станет ли бажен новым Баккеном // Сколково, 2013
- Kuuskraa V., Stevens S., Moodhe K. Technically recoverable shale oil and shale gas resources: an assessment of 137 shale formations in 41 countries outside the United States. EIA, US Department of Energy report, 2013.

- 3. Feng F., Akkutlu I. Y. Flow of hydrocarbons in nanocapillary: A non-equilibrium molecular dynamics study // SPE Asia Pacific Unconventional Resources Conference and Exhibition. Society of Petroleum Engineers, 2015.
- Gerke K. M., Karsanina M. V., Sizonenko T. O. et al. Multiscale image fusion of X-ray microtomography and SEM data to model flow and transport properties for complex rocks on pore-level // SPE Russian Petroleum Technology Conference. — Society of Petroleum Engineers, 2017.
- Stukan M., Abdallah W. Nano-confined adsorbed and free gas in shale reservoirs: A molecular dynamic study // SPE Middle East Oil & Gas Show and Conference. — Society of Petroleum Engineers, 2015.
- Okamoto N., Liang Y., Murata S. et al. Slip velocity and permeability of gas flow in nanopores for shale gas development // SPE Asia Pacific Unconventional Resources Conference and Exhibition. — Society of Petroleum Engineers, 2015.
- Kou R., Alafnan S. F. K., Akkutlu I. Y. Coupling of Darcy's equation with molecular transport and its application to upscaling kerogen permeability // SPE Europee featured at 78th EAGE Conference and Exhibition. — Society of Petroleum Engineers, 2016.
- 8. Beg O. A., Takhar H. S., Bhargava R. et al. // Physica Scripta. 2008. 77, N 6. 065402.
- Zeng Z., Grigg R. // Transport in porous media. 2006. 63, N 1. P. 57–69.
- Suhag A. Ranjith R., Aminzadeh F. et al. Comparison of shale oil production forecasting using empirical methods and artificial neural networks // SPE Annual Technical Conference and Exhibition. — Society of Petroleum Engineers, 2017.
- Akkutlu I. Y., Yortsos Y. C. The effect of heterogeneity on in-situ combustion: the propagation of combustion fronts in layered porous media // SPE/DOE Improved Oil Recovery Symposium. — Society of Petroleum Engineers, 2002.
- Hu Y., Devegowda D., Sigal R.F. Impact of maturity on kerogen pore wettability: A modeling study // SPE Annual Technical Conference and Exhibition. — Society of Petroleum Engineers, 2014.
- Азиз Х., Сеттари Э. Математическое моделирование пластовых систем. Ижевск: ИКИ, 2004.
- Каневская Р. Д. Математическое моделирование гидродинамических процессов разработки месторождений углеводородов. Ижевск: ИКИ, 2002.
- 15. Басниев К. С., Кочина И. Н., Максимов В. М. Подземная гидромеханика. М.: Недра, 1993.
- Сайт Национального института стандартов и технологий США: http://webbook.nist.gov/chemistry/fluid
- 17. Corey A. T. // Prod. Monthly. 1954. 19, N 1. P. 38.
- 18. *Баженова О. К., Бурлин Ю. К., Соколов Б. А., Хаин В. Е.* Геология и геохимия нефти и газа. М., 2004.
- 19. Козлова Е.В., Фадеева Н.П., Калмыков Г.А. и др. // Вестн. Моск. ун-та. Серия 4. Геология. 2015. С. 44.
- Шеколдин К.А. Обоснование технологических режимов термогазового воздействия на залежи баженовской свиты. Дисс. ... канд. техн. наук: 05.13.18. Москва, 2016. 105 с.
- 21. *Балушкина Н. С., Калмыков Г. А., Кирюхина Т. А.* и др. // Геология нефти и газа. 2013. № 3. С. 48.

# Modification of a Mathematical Model of Non-Isothermal Flow in an Oil-Kerogen-Containing Reservoir Taking Thermal Degradation of Kerogen into Account

# A. V. Kayukova<sup>1a</sup>, A. V. Isayeva<sup>2b</sup>

This paper deals with modification of a mathematical model for the multicomponent non-isothermal flow of oil and gas considering the processes of thermal degradation of kerogen upon heating of oil-kerogen-containing reservoirs. A system of differential equations that describe thermal degradation is formulated based on the data on testing a thermal-gas method at the deposit of the Bazhenov formation, as well as using the data from laboratory pyrolytic studies. The one-dimensional initial-boundary problem that is obtained is solved using numerical methods. The numerical experiments were carried out at different values of parameters for two models: the classical model of multi-component three-phase flow and the model supplemented by the equations that describe thermal degradation. The computational results obtained based on the two different models are compared; the advantages of the model proposed in this paper are shown.

Keywords: thermal degradation, kerogen, Bazhenov formation, multi-component non-isothermal flow.

PACS: 02.70.Bf.

Received 24 October 2017.

English version: Moscow University Physics Bulletin. 2018. 73, No. 5. Pp. 542-550.

#### Сведения об авторах

- 1. Каюкова Анастасия Владимировна студентка; e-mail: akayukova16@gmail.com.
- 2. Исаева Анна Вячеславовна канд. физ.-мат. наук, доцент; тел.: (495) 939-11-00, e-mail: avisaeva@gmail.com.

<sup>&</sup>lt;sup>1</sup>Department of mathematical modelling and informatics, Faculty of Physics, Lomonosov Moscow State University. Moscow 119991, Russia.

<sup>&</sup>lt;sup>2</sup>Department of Physics of the Earth, Faculty of Physics, Lomonosov Moscow State University. Moscow 119991, Russia. E-mail: <sup>a</sup>akayukova16@gmail.com, <sup>b</sup>avisaeva@gmail.com.